



**РНКТ 6**

**ШЕСТАЯ  
РОССИЙСКАЯ  
НАЦИОНАЛЬНАЯ  
КОНФЕРЕНЦИЯ  
ПО ТЕПЛООБМЕНУ**

**Том 3**

**ТЕЗИСЫ  
ДОКЛАДОВ**

**27 - 31 октября 2014 года  
Москва**

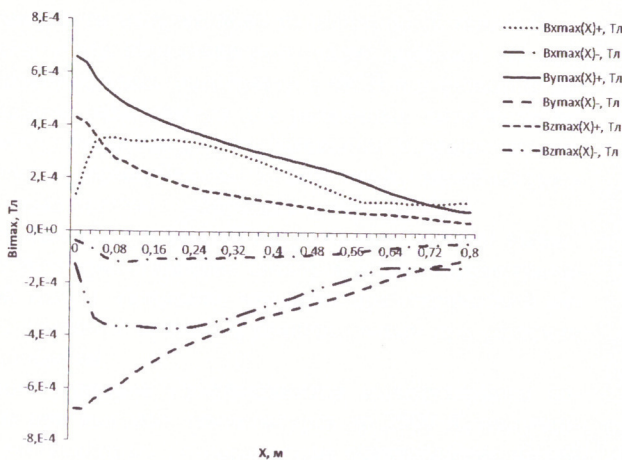


Рис. 2. Графики зависимости максимальных значений компонент магнитной индукции от координаты сечения по длине канала по оси  $X$  после изогнутой части

Наибольшие значения магнитной индукции  $B$  наблюдаются в сечении, соответствующем началу прямого канала после изогнутой части ( $X = 0$ ). Особенностью формирующегося магнитного поля в сечении  $X = 0$  является то, что величина  $B_y$  (составляющей индуцированного магнитного поля, нормальной к направлению движения жидкости вдоль оси  $X$  и ориентации внешнего магнитного поля по оси  $Z$ ) превышает по абсолютной величине составляющие  $B_x$  и  $B_z$  (рис. 2). В самом гибе магнитная индукция  $B$  не достигает своих максимальных значений. На практике важное значение имеют данные по распределению максимальных флуктуаций индуцированного магнитного поля по длине канала. В частности, такая информация необходима при разработке расходомерных устройств для контроля жидких металлов [1].

#### Список литературы

- Кебадзе Б.В. Контроль теплогидравлических параметров и диагностика состояния ядерных энергетических установок с применением статистических методов. — Обнинск, 2007.

O.V. Mitrofanova, G.D. Podzorov

National Nuclear Research University «МЭРН», Moscow

#### NUMERICAL CALCULATIONS OF THE INDUCED MAGNETIC FIELD AT GARTMAN'S FLOW IN CHANNELS WITH GENERATION OF LARGE-SCALE VORTEX STRUCTURES

УДК 543.42

Н.И. Москаленко, И.Р. Додов

Казанский государственный энергетический университет

## МЕТОДЫ РАСЧЕТОВ РАДИАЦИОННЫХ ХАРАКТЕРИСТИК ГАЗОВОЙ ФАЗЫ ПРОДУКТОВ СГОРАНИЯ ОРГАНИЧЕСКИХ ТОПЛИВ

Рассматриваются методы расчетов радиационных характеристик газовых ингредиентов продуктов сгорания органических топлив, необходимых для моделирования радиационного теплообмена в камерах сгорания энергетических агрегатов и факелов аэроносителей в атмосфере, систем залпового огня и в других высокотемпературных средах. Анализируется метод модельного представления спектров, эмпирические методики, метод численного моделирования тонкой структуры спектров (МЧМТС) поглощения (излучения). Основной характеристикой, определяющей радиационный теплообмен, является функция спектрального пропускания (ФСП), которая в общем случае зависит от тонкой структуры спектров излучающих и поглощающих сред и функции источника излучения. Влияние последних учитывается введением коэффициентов селективности в ФСП и коэффициентов неравновесности в функцию источника излучения.

В настоящее время актуально повышение эффективности радиационного теплообмена в камерах сгорания. Математическая модель радиационного теплообмена для своей реализации требует знания ФСП и структурных характеристик среды в камере сгорания, включая температуру и концентрации ингредиентов по ее объему [1]. Химический состав продуктов сгорания может быть рассчитан термодинамическим методом [2]. Поле температуры может быть вычислено путем замкнутого моделирования радиационного теплообмена [1] с применением итерационной температуры уточнения решения до установления стационарного состояния среды камеры сгорания. Далее полученное распределение температуры по объему топки и ФСП в структурно-неоднородной среде используется для вычисления потоков излучения по тепловоспринимающим поверхностям топки. В связи с большим объемом вычислений в задачах моделирования радиационного теплообмена необходимо, чтобы расчетные формулы для ФСП были достаточно простыми и однотипными для различных газовых компонентов, формирующих спектры поглощения (излучения), и в то же время с достаточной степенью точности аппроксимировали действительную ФСП. Несмотря на значительный прогресс вычислительной техники и молекулярной спектроскопии МЧМТС поглощения (излучения) в расчетах ФСП, их применение в широких масштабах остается затруднительным вследствие большой трудоемкости таких вычислений, но его применение достаточно эффективно для кон-

троля погрешностей, возникающих в результате применения приближенных методов расчета ФСП.

Учет влияния неравновесности излучения на радиационный теплообмен возможно выполнить путем учета неравновесного радиационного выхолаживания [3] и введения колебательных температур в ФСП и в функцию источника излучения. Последние различаются для различных оптически активных ингредиентов и могут зависеть от колебательных и вращательных квантовых чисел переходов, формирующих электронные, колебательно-вращательные и вращательные полосы поглощения (излучения).

В докладе преимущественно обсуждаются оперативные методы вычислений ФСП: метод модельного представления спектров и двухпараметрический метод эквивалентной массы. Показано, что двухпараметрический метод расчета ФСП является наиболее точным и универсальным при решении задач радиационного теплообмена.

Выполненные сравнения спектров коэффициентов молекулярного поглощения излучения паров при высоких температурах до 2500 К, полученных экспериментально и вычисленных по параметрам спектральных линий атласов [4], показали, что для комбинационных и обертонных полос расчетные данные по спектральным коэффициентам поглощения сильно занижены от двух до десяти раз. Это занижение обусловлено ненадежным учетом эффекта ангармонизма молекулы паров  $H_2O$  в спектрах молекулярного поглощения при высоких температурах.

#### Список литературы

1. **Москаленко Н.И., Загидуллин Р.А., Зарипов А.В., Локтев Н.Ф.** Моделирование радиационного теплообмена с учетом неравновесности и селективности излучения в топках энергетических котлов тепловых электрических станций. I математическая модель// Изв. вузов. Проблемы энергетики. 2012. № 1—2, С. 23—32.
2. Термодинамические и теплофизические свойства продуктов сгорания / Д.Е. Аймасов, А.Ф. Драгалин, А.П. Тишин и др. — М.: ВИНТИ, 1972. — 490 с.
3. Кондратьев К.Я., **Москаленко Н.И.** Тепловое излучение планет. — Л.: Гидрометеоиздат, 1977. — 264 с.
4. HITRAN on Web. — Cambridge, MA, USA. — <http://hitran.iao.ru>

N.I. Moskalenko, I.R. Dodov

Kazan State Power Engineering University

#### METHODS OF CALCULATION OF RADIATION CHARACTERISTICS OF GASEOUS PHASE COMBUSTION PRODUCTS OF ORGANIC FUELS

УДК 629.125:551.521

Н.И. Москаленко, Ю.А. Ильин, М.С. Садыкова<sup>(\*)</sup>

Казанский государственный энергетический университет

#### ИССЛЕДОВАНИЕ СПЕКТРОВ ЭМИССИИ И ПОГЛОЩЕНИЯ ИЗЛУЧЕНИЯ ВОДЯНЫМ ПАРОМ

Рассматриваются результаты экспериментальных исследований, радиационных характеристик водяного пара в диапазоне температур 350—2500 К, выполненных на спектральных измерительных комплексах, функционирующих в режимах поглощения излучения водяным паром и регистрирующих абсолютных спектров его излучения. В диапазоне температур 300—1500 К экспериментальные исследования радиационных характеристик выполнялись с применением высокотемпературных кювет с электрическим обогревом, в том числе кюветы высокого давления. При температурах 1500—2500 К измерения выполнялись на пламенных измерительных комплексах.

Выполненные экспериментальные исследования показали, что при использовании ламинарного течения продуктов сгорания, излучения водяного пара в водород-кислородном и водород-воздушном пламенах являются равновесными в инфракрасной области спектра, и функция источника излучения определяется функцией Планка для абсолютно черного тела при термодинамической температуре излучающей среды. Последнее позволило использовать линии излучения водяного пара для определения температуры пламени методом самообращения спектральных линий в полосах 1,37 и 1,87 мкм водяного пара. Спектры излучения водяного пара при температурах более 1500 К измерены на спектральной установке высокотемпературный газовый излучатель (СУВГИ) [1] и лабораторных макетах этой установки в области спектра 0,2—20 мкм  $H_2$  —  $O_2$  пламени на режимах с избытком окислителя  $\alpha_{ok} < 1$ . Концентрации ингредиентов продуктов сгорания вычислены термодинамическим расчетом с погрешностью 0,8 %. В УФ обработаны спектры излучения  $H_2$  —  $O_2$  пламени обусловлено главным образом интенсивные полосы которого расположены в диапазоне длин волн 261—36 нм. Полос горячего молекулярного кислорода (Шумана—Рунге) в спектрах излучения не обнаружено. Это связано, с тем что измерения выполнялись на режимах с  $\alpha_{ok} < 0,5$ , когда в продуктах сгорания практически отсутствует молекулярный кислород.

Водород-кислородное пламя относится к прозрачным пламенам, когда его излучательная способность в видимой части спектра  $\varepsilon_\lambda \leq 0,003$ . В спектре излучения наблюдается слабые полосы в окрестности длин волн 577,5;

<sup>(\*)</sup>М.С. Садыкова, maryana1125@mail.ru